

大阪府立工業高等専門学校 正員 多田博登

1. はじめに：合流点を通過する洪水流解析について、従来ポイントタイプと呼ばれる取り扱い方法を用いる場合が多い。これは図-1(a)に示すように直接水路と水路を結びつけるもので、条件式は次のようである。

$$h_0 = h_1 = h_2, \quad Q_0 = Q_1 + Q_2 \quad \text{がむぎれ (1), (2)}$$

この方法は計算の容易さといつて利点はあるものの、合流に伴うエネルギー損失、合流角等の幾何学的構造等の効果を無視していることから物理的に不合理である。特に合流点直下流は現象が複雑でありまして現時点では内部機構の定量的な表現が困難であるから、直接水路をつなぐよりも、図-1(b)に示すように control volume として合流部をとり立てる方が妥当であると考えられる！

本研究は、実験的知識と、各特性すなわち接合部の幾何学的効果、非定常性すなわち貯留効果、およびエネルギー損失効果の導入を考慮して、単純な合流点モデルを対象として解析法の検討を行なうものである。

2. 実験：実験模型は、図-1(b)に示すものと同様直線の矩形断面の本川水路に横から支川が合流するもので、合流角度は $\pi/2$ および $2\pi/3$ 、水路幅比 B/L は $1/2$ および 1 に設定されています。洪水流は、基底流とは別に、ボールバルブをとりつけたパイプを高水槽と三角堰池に接続して発生させて。ボールバルブはレバーを 90° 手動で回転する二つによ、これは瞬時に全開および閉鎖を行なうことができます。全開時は一定流量が三角堰の水槽に供給され、定常にはすこしぐらいに増加する流量が水路に流入する。適当な断面の中心で一式水位計を用いて水面の変動を計測した。測定は合流点直上流および干流へ到達直前は水路幅の 3 倍として計 4 箇所とした。実験結果の概要是以下のようにある。²⁾ ① 水深の変動範囲は図-2 に示すように、基底流時の定常水面形と最終水定常とのものである。2 次的変動成分をのぞけば水面は二の範囲を越えることはない。すなわち非定常においても水面形は定常流とよく似た形状を呈しており、ボイントタイプによる解析結果とは明らかに異なるものであることが推定できます。2 次的水面の変動は、支川側の流量が大きい程、またそのとき合流点までの距離が近い程顕著であり、定常時にもその傾向がみられる。② 本川および支川の直上流の水深は、時間変化および大きさとともに一致している。これは洪水の始点が本川、支川にかかりにくくみられるが、距離が近いため時間的精度上誤差はあるかもしない。

3. 合流点の条件式；子合流点直下流部に control volume を仮定する。未知量は各水路に既する control volume 両端における水深と流量であるが、非定常の場合内部の水深と流量の代表値が必要となるため計算式を取る。これに対して、各水路から出力される 1 つの条件式。volume に適用する連続方程式と 2 つの運動方程式、および内部の代表値と両端における値の関係式がそれ 1 つによって規定されると言えられる。

ここで式の繁雑さを避けるため単純モデルとして本実験装置を解析の対象としている。度量は一般的な表現法ではないが、下に示すように本川水路幅 B および重力の加速度 g によつて無次元表示ある二つにする。

$$X \equiv x/B, \quad H = h/B, \quad T = t/\sqrt{B/g}, \quad \text{および} \quad E = Q/\sqrt{gB^5} \quad (3)$$

ここで X ：流れ方向長さ、 T ：時間、 h ：水深、および Q ：流量である。水路からの条件は特性曲線によって示される。

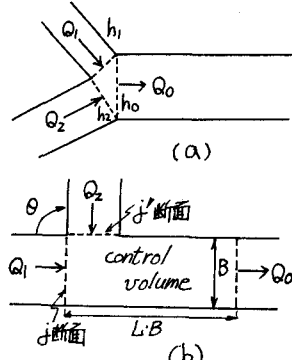


図-1. 合流部模式図

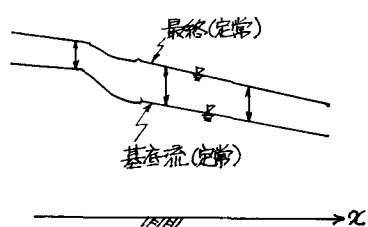


図-2 水深変動範囲

$$dX/dT = E/H \pm \sqrt{H}, H^2 dE + H(HdX/dT - 2E)dH + fE^2(H + 1/2) \quad \text{式(4), (5)}$$

f : 摩擦損失係数である。連続方程式は volume の体積を必要とするから、 $V_k = L \cdot H_k$ とする。 $\Sigma = \Sigma V_k$: 無次元体積、 L : 体積の水路長方向の無次元長さ、および H_k : 代表水深である。これはよって、

$$E_1 + E_2 - E_0 - L \cdot dH_k/dT = 0 \quad (6)$$

で導かれる。添字は図-1(b)のものと一致させている。Z 方向の運動量方程式では control volume の代表流量 E_k を用いて非定常項 $\int (\partial u / \partial t) dV$ を簡単に表現して、まとめると下のようになる。

$$L \left(\frac{dE_k}{dT} - \frac{E_k \cdot dH_k}{H_k \cdot dT} \right) - \sum_{i=0}^2 \left(\frac{1}{k_i H_i} + \frac{k_i}{2} H_i^2 \right) \cos \theta_i = 0 \quad (7)$$

k_i : 各水路の本川に対する水路幅比、 θ_i : 各水路の本川水路軸と Z 軸との角、特に $\theta_0 = \pi$ である。残り 1 つの運動方程式は、いま便宜上実験から推定される下の関係を用いる。

$$H_1 = H_2 \quad (8)$$

volume の代表量は両端の値とのみ関係すると考えられるから、次の一次式を仮定する。

$$H_k = \sum \alpha_i H_i, \quad E_k = \sum \beta_i E_i \quad \text{式(9), (10)}$$

4. 解析例：以上の条件式はせいぜい常数分だけであり、前進差分をとることによって計算は非常に容易である。計算例は図-3 に示す。ここでは、定常流の結果を参考に $L = 3$ 、また式(9), (10) の係数は添字 0 を $1/2$ 、その他のは $1/4$ とした。水路の初期条件は不等流水面形の式を用いたが、特に H_1 と H_0 の関係は下式に示す。⁽³⁾

$$H_1/H_0 = 2G \cos[\{\pi - \cos^{-1}(\eta/\eta_*)\}/3], \quad \eta_* = G^3/F^2, \quad G = ((1+2F^2)/3)^{1/2}, \quad \eta = i^2/(1-i)^2 \cos \theta_i/F \quad (11)$$

F : 水面のフルード数、 η : 流量化である。水路の不定流は特性曲線法を用いた。下流端付近は水深、上流端は流量を与える。

図-3 は $\Delta X = 3$ の各点の H の時間変化を示している。
 $t = 0$ で実験水面形と合うのは当然であるが、最終の定常状態でも理論水面と良く一致している。また非定常時にあっても特徴的な形状を保つており実験事実を再現していると考えられる。

5. おわりに：図-3 で示した条件式は種々の仮定が含まれているが、少なくとも 2 の実験的特性①が再現されていっているには大きな誤謬はないと思われる。またポイントタイプと比較しても計算はかなり程の量ではない。しかしながら問題点も残っている。実験結果その他と詳細な比較検討が必要であると考えている。さらに、トレーサー実験によて確かめられたが、本実験装置では支流から流入する洪水量によつて断面の水面の急高時に本川上流側に逆流が生じる。この現象は別に検討を要すると思われる。

以上本研究は昭和 56 年度文部省科学研究費、自然災害特別研究（代表者：徳島大学・端野道夫助教授）の援助を受けた。下室田明教頭には常に御指導を賜つていただきして謝意を表します。実験・解析に際して、本校技術、阪本吉一氏、および電気開発課、賀田正、鷲川工務店、鷲川忠一両君の援助を得たことを感謝致します。

参考文献

- 河西・井上・大西：分・合流部における非定常流の解析－支配体積による方法－、第 34 回年講、1979.10.
- 多田・鷲川・賀田：模型実験における合流点を通過する洪水流の特性、第 29 回年講、1982.6.
- 室田・多田：開水路合流部の水面形計算法に関する研究、第 25 回水講、1981.2.

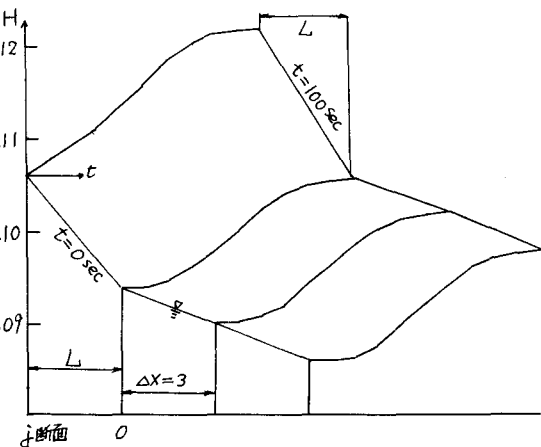


図-3 解析例